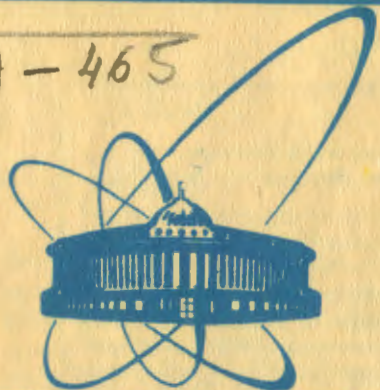


A - 465



сообщения  
объединенного  
института  
ядерных  
исследований  
дубна

2370/2-81

18/5-81

P3-81-57

Ю.А.Александров, М.Врана\*, Т.А.Мачехина,  
П.Микула\*, Р.Михалец, Л.Н.Седлакова, Б.Халупа\*

МНОГОКРАТНОЕ РАССЕЯНИЕ НЕЙТРОНОВ  
В МОНОКРИСТАЛЛЕ КРЕМНИЯ,  
НАБЛЮДАЕМОЕ МЕТОДОМ ВРЕМЕНИ ПРОЛЕТА

\* Институт ядерной физики ЧСАН, Ржеж, ЧССР.

1981

## 1. ВВЕДЕНИЕ

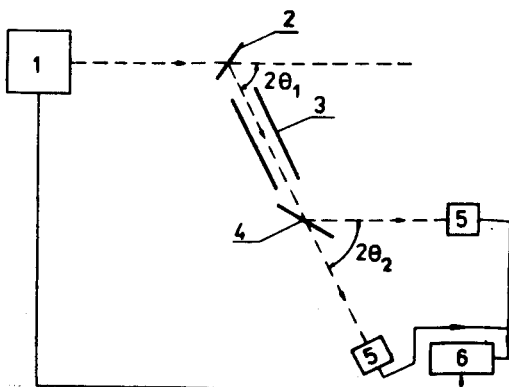
Дифракция нейтронов совершенными монокристаллами изучалась до сих пор в основном на стационарных реакторах<sup>/1/</sup>. Только в последнее время появились работы, в которых использована методика времени пролета в сочетании с импульсным источником нейтронов<sup>/2,3/</sup>. При рассеянии "белого" пучка нейтронов монокристаллическим образом могут возникнуть ситуации, когда на сфере отражения находятся два или более узла обратной решетки, то есть нейтроны данной энергии отражаются в соответствии с условием Брэгга от комбинации нескольких типов плоскостей. Такое рассеяние называется многократным брэгговским рассеянием. Оно зависит от многих факторов: геометрических размеров, мозаичности и ориентации образца, угла рассеяния и разрешающей способности установки<sup>/4-6/</sup>.

Целью данной работы являлось изучение многократного рассеяния нейтронов в совершенном монокристалле кремния /в геометрии прохождения/ в зависимости от углового разрешения установки, изменяющегося вследствие введения коллиматора или анализирующего монокристалла германия в рассеянный пучок нейтронов.

## 2. ЭКСПЕРИМЕНТ

Измерения проводились на нейtronном спектрометре WKSН-300<sup>/7/</sup>, находящемся на пучке реактора ИБР-30<sup>/8/</sup>. На рис.1 показана принципиальная схема установки. Суммарная пролетная база нейт-

Рис.1. Схема установки:  
1 - активная зона реактора; 2 - монокристалл Si;  
3 - коллиматор отраженного пучка; 4 - монокристалл Ge;  
5 - детектор нейтронов; 6 - временной анализатор.



нов от замедлителя до детектора составляла 15 м. Горизонтальная и вертикальная расходимость падающего пучка нейтронов была постоянной и составляла  $\sim 1^{\circ}20'$ . Угол рассеяния нейтронов монокристаллом кремния  $2\theta = 77^{\circ}27'$ , монокристаллом германия  $2\theta = 74^{\circ}19'$ . Ширина канала временного анализатора  $\tau = 32$  мкс.

### 3. ЭКСПЕРИМЕНТАЛЬНЫЕ РЕЗУЛЬТАТЫ

Изучалась дифракция нейтронов монокристаллом Si, установленным в положение на прохождение. Толщина кристалла  $t = 1/500 \pm 20$  мк и диаметр  $d = 76,5$  мм. Дифракция нейтронов происходила на семействе плоскостей  $(hh0)$ . Расходимость отраженного пучка нейтронов изменялась помещением в пучке коллиматора или изогнутого монокристалла Ge.

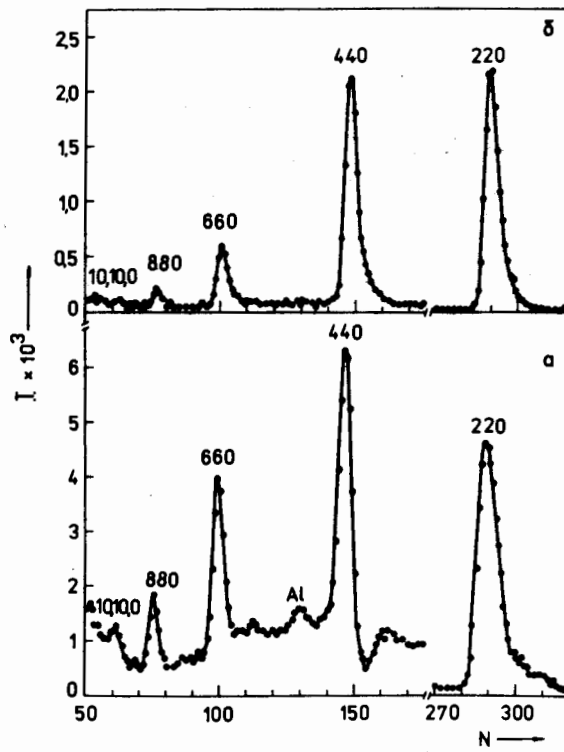


Рис.2. Нейtronограмма монокристалла Si в положении на прохождение с горизонтальной коллимацией отраженных нейтронов:  $\omega = 84'$  /а/ и  $\omega = 36'$  /б/.

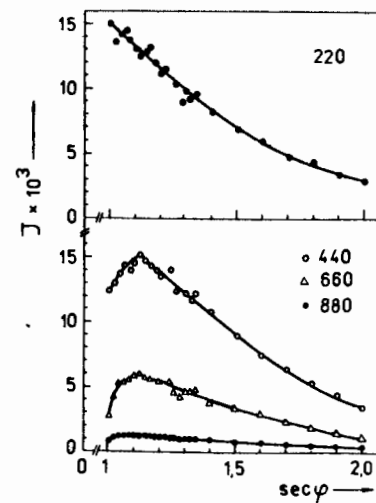


Рис.3. Зависимость интегральной интенсивности  $I$  от азимутального угла поворота  $\phi$  кристалла вокруг вектора  $\vec{r}_{hh0}$ .

На рис.2а показан временной спектр нейтронов при ширине  $\omega$  кривой отражения от монокристалла Si, равной  $84'$ ; на рис.2б — тот же спектр при  $\omega = 36'$ , при постоянной вертикальной расходимости, равной  $\sim 60'$ . Плоскость рассеяния была параллельна плоскости  $(110)$  /азимутальный угол  $\phi = 0^{\circ}$ /.

Поворачивая монокристалл вокруг вектора рассеяния нейтронов, можно менять его ориентацию, сохраняя условие Брэгга для одно-

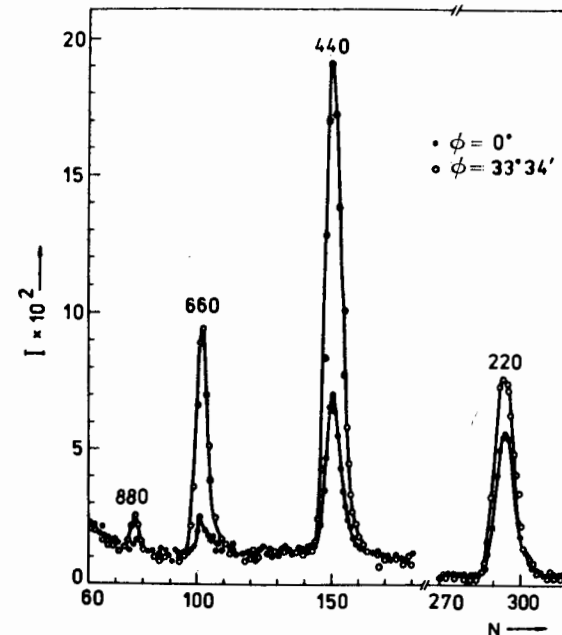


Рис.4. Нейtronограмма, полученная от системы кристаллов Si-Ge при горизонтальной расходимости  $\omega = 6'$  и углах  $\phi = 0^{\circ}$  /а/ и  $\phi = 33^{\circ}34'$  /б/.

кратного рассеяния. На рис.3 приведены результаты измерений интегральной интенсивности нейтронов в зависимости от азимутального угла  $\phi$  в интервале углов /0-60/ $^{\circ}$  при  $\omega = 36'$ .

Используя в качестве анализатора рассеянных нейтронов монокристалл Ge с постоянной решетки  $a_0$ , очень близкой к Si, можно еще более снизить горизонтальную расходимость пучка, отраженного от первого монокристалла. На рис.4 показан временной спектр нейтронов от системы Si-Ge при  $\omega \approx 8'$  и углах  $\phi = 0^{\circ}$  и  $\phi = 38^{\circ}34'$ .

#### 4. ИНТЕРПРЕТАЦИЯ РЕЗУЛЬТАТОВ

Анализ экспериментальных результатов в пространстве обратной решетки позволяет определить плоскости, ответственные за появление аномалий в интегральной интенсивности нейтронов отдельных рефлексов.

На рис.5 показаны расчетные кривые многократных рефлексов для различных длин волн нейтронов в зависимости от ориентации образца /угла  $\phi$  для отражений (220) и (440)/.

Временной спектр нейтронов на рис.2а можно объяснить, полагая, что вблизи отражения (440) имеют место отражения (131), (311), (133)..., которые проявляются как эффект "выедания" спектра нейтронов.

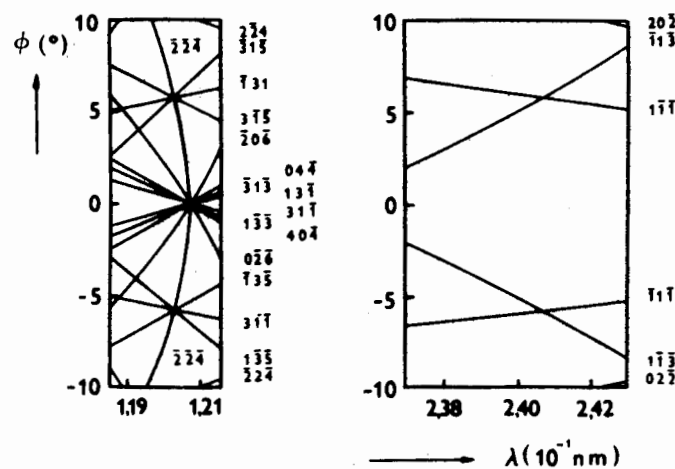


Рис.5. Зависимость появления многократных отражений от азимутального угла для отражений (220) и (440).

При улучшении коллимации отраженного пучка нейтронов эффект "выедания" исчезает /рис.2б/, но многократное рассеяние остается. В этом можно убедиться, поворачивая монокристалл вокруг вектора рассеяния  $\vec{r}_{(h0)}$ . Для отражения (220) изменение интегральной интенсивности в зависимости от угла  $\phi$  /рис.3/ происходит только за счет изменения геометрических размеров отраженного пучка. При наших условиях эксперимента зависимость интегральной интенсивности от угла  $\phi$  должна быть одинакова для всех отражений в случае отсутствия многократного рассеяния. На рис.3 видно, что для отражений (440), (660) и (880) существует заметное отклонение от зависимости интегральной интенсивности для (220).

Анализ временных спектров нейтронов, полученных от системы Si-Ge, показывает, что и в этом случае существует многократное отражение, которое приводит к увеличению интегральной интенсивности отражений (440), (660) и (880) при угле  $\phi = 38^{\circ}34'$  по сравнению с  $\phi = 0^{\circ}$ . При этом интегральная интенсивность нейтронов, отраженных от (220), остается практически неизменной.

#### 5. ЗАКЛЮЧЕНИЕ

Приведенные результаты свидетельствуют о том, что многократное брэгговское отражение может существенно усложнить некоторые исследования с совершенными монокристаллами по методу времени пролета. Так как этот метод найдет широкое применение в связи с введением в действие интенсивных импульсных источников нейтронов /9,10/, то следует принимать специальные меры, чтобы избежать многократных отражений или создавать условия, при которых они в меньшей степени скажутся на результатах.

Авторы благодарят Б.Гашкову, А.Лошкарева и Я.Вавру за помощь в измерениях и при обработке результатов.

#### ЛИТЕРАТУРА

1. Rauch H., Petrascheck D. In: Topics in Current Physics, vol.6: Neutron Diffraction (Ed. H.Dachs). Springer-Verlag, Berlin, Heidelberg, 1978.
2. Eichhorn F. et al. phys.stat.sol.(a), 1977, 40, p.205.
3. Alexandrov Yu.A. et al. The Sixth Conference of Czechoslovak Physicists. Ostrava, CSSR, 27-31.8, 1979.
4. Moon R., Shull C. Acta Cryst., 1964, 17, p.805.
5. Малышевски Э. и др. ОИЯИ, Р3-3377, Дубна, 1967.
6. Mikula P. et al. Acta Cryst., 1979, A35, p.962.

7. Maliszewski E. et al. IAEA Symposium on Inelastic Scattering of Neutrons in Solids and Liquids. Copenhagen, 20-24 May, 1968.
8. Frank I.M. Particles and Nucleus, 1972, 2, p.805.
9. Шабалин Е.П. Импульсные реакторы на быстрых нейтронах. Атомиздат, М., 1976.
10. Carpenter T.H. Nucl.Instr.Meth., 1977, 145, p.91.

Рукопись поступила в издательский отдел  
27 января 1981 года.